

Отчёт по научно-исследовательской работе  
на тему:  
*Портирование алгоритма субдифференциального метода на язык  
программирования Python*

Студент группы 3640102/00201 \_\_\_\_\_ Курносов Д.А.

Оценка руководителя: \_\_\_\_\_ Баженов А.Н.

\_\_\_\_\_ 2021 г.

# Содержание

<b>1</b>	<b>Постановка задачи</b>	<b>2</b>
<b>2</b>	<b>Теория</b>	<b>2</b>
2.1	Субдифференциальный метод Ньютона . . . . .	2
2.2	Расширение алгоритма . . . . .	2
<b>3</b>	<b>Результаты</b>	<b>3</b>
<b>4</b>	<b>Литература</b>	<b>6</b>

# 1 Постановка задачи

Основной идеей данной работы было изучение субдифференциального метода Ньютона с целью реализации его на языке программирования Python. Была изучена соответствующая литература, а так же алгоритмы, представленные на других языках программирования.

## 2 Теория

### 2.1 Субдифференциальный метод Ньютона

Решение интервальных уравнений может быть сведено к решению индуцированных уравнений вида:

$$\begin{cases} \mathcal{F}(y) = 0, \\ \mathcal{F}(y) = sti(Csti^{-1}(y) \ominus sti^{-1}(y) + d) = sti(Csti^{-1}(y)) - y + sti(d) \end{cases} \quad (1)$$

$$\begin{cases} \mathcal{G}(y) = 0, \\ \mathcal{G}(y) = sti(Csti^{-1}(y) \ominus d) = sti(Csti^{-1}(y)) - sti(d) \end{cases} \quad (2)$$

при помощи погружения  $sti : \mathbb{K}\mathbb{R}^n \rightarrow \mathbb{R}^{2n}$ , действующего по правилу:

$$(x_1, x_2, \dots, x_n) \mapsto (-x_1, -x_2, \dots, -x_n, \bar{x}_1, \bar{x}_2, \dots, \bar{x}_n) \quad (3)$$

Иначе говоря, необходимо составить вектор, первые  $n$  элементов которого представляют левые концы интервалов, взятые с противоположным знаком, а последующие  $n$  компонент - правые концы интервалов.

Одним из инструментов решения уравнения такого вида является субдифференциальный метод Ньютона. Идея данного алгоритма следующая:

- Выбирается некоторое приближение  $x^{(0)} \in \mathbb{R}^{2n}$
- Вычисляется субградиент  $D^{(0)}$  отображения  $\mathcal{F}$  в данной точке
- Полагаем  $x^1 \leftarrow x^0 - \tau(D^{(k-1)})^{-1}\mathcal{F}(x^{(k-1)})$ ,  
где  $\tau \in [0, 1]$

Условием останова алгоритма является условие:

$$\|x_k - x_{k-1}\| \leq \varepsilon \quad (4)$$

Дополнительным условием останова является заданное заранее допустимое количество итераций алгоритма. Важно заметить, что напрямую данный метод может использоваться для решения СЛАУ только с квадратными матрицами. Рассмотрим подход, позволяющий использовать его для решения задач иных размерностей.

### 2.2 Расширение алгоритма

Для решения задач, представляющих СЛАУ прямоугольного вида используется следующий алгоритм:

1. Матрица  $A$  исходной системы изменяется таким образом, чтобы оставшиеся в ней переменные имели достаточное значение в уравнениях, т.е. из исходной матрицы удаляются столбцы, сумма значений в которых равняется нулю.
2. Далее по такой матрице производится проход по окнам - квадратным матрицам, размерность которых совпадает с количеством столбцов этой матрицы. Для каждого окна выполняются следующие операции:
  - Если матрица, являющаяся окном имеет определитель, удовлетворяющий заранее заданному значению - находим для неё решение с помощью субдифференциального метода Ньютона.
  - Если определитель оконной матрицы равен нулю - для неё выполняется процедура п.1 до тех пор, пока определитель не будет удовлетворять заданному значению. Если такая матрица найдена в рамках этого окна - находим для неё решение. Иначе - переходим к следующему окну.
3. Полученные решения пересекаются в одно, являющееся окончательным ответом.

Перед выполнением пересечения каждое полученное решение проверяется подстановкой в равенство  $Ax = b$ . Умножение выполняется в соответствии с формулами Лакеева для полной интервальной арифметики. Равенство же проверяется как сумма норм разностей для нижних и верхних границ векторов.

Пересечение находится как минимум по включению для правильных проекций интервалов.

### 3 Результаты

Решим систему, представленную интервальной матрицей размерности  $256 \times 16$ . Задача была сгенерирована с помощью кода Никиты Суханова и интервализирована. Данная система описывает два геометрических объекта, первый - цилиндр(плазма), который разбивается на множество сегментов по трём полярным координатам  $(r, \phi, z)$ , второй - прямоугольник, на котором располагается множество точек (детектор), распределенных в узлах прямоугольной сетки. Всего их  $cols$  столбцов и в каждом столбце  $rows$  точек. Соответственно размерность  $256 \times 16$  в нашем случае получается из параметров:  $n = n_r * n_{\phi} * n_z, n_r = 2, n_{\phi} = 4, n_z = 2$  сегментов цилиндра и  $m = rows * cols, rows = 16, cols = 16$  точек (пикселей) на детекторе.

Элементы матрицы отображают длину пересечения некоторого луча, испускаемого каждым пикселем, с каждым из сегментов цилиндра. Так как пересечения не повсеместны, матрицы содержит большое количество нулевых элементов.

Матрица данной системы имеет следующий вид:

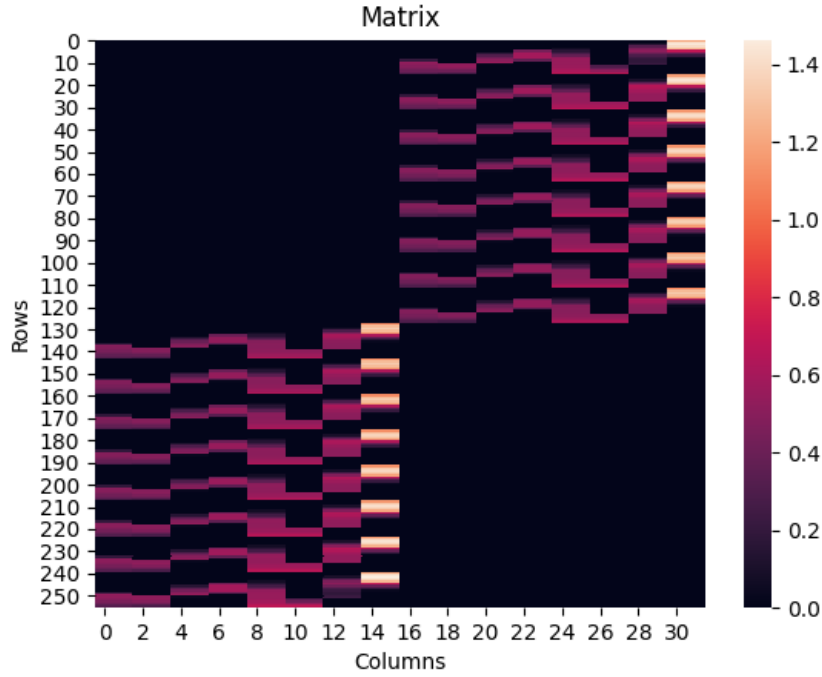


Рис. 1: Исходная матрица системы

Видно, что матрица имеет блочную структуру. Для нахождения решения разобьём её на четверти и получим решения для каждой из них. Значения *None* означают, что решение не удалось получить.

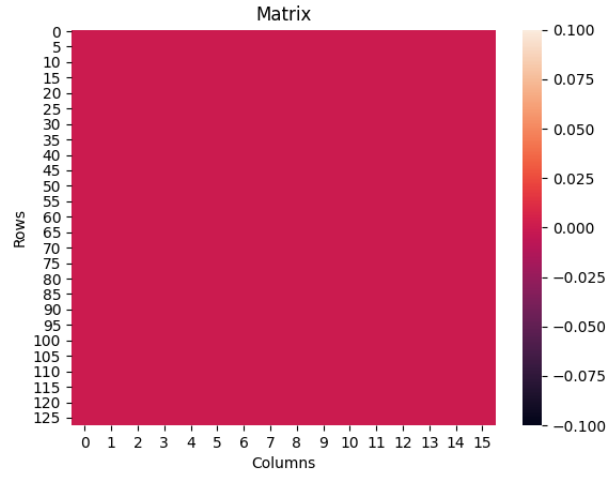


Рис. 2: Матрица первой четверти

Решение для первой четверти:

$$\begin{pmatrix} 1 : [None, None] \\ 2 : [None, None] \\ 3 : [None, None] \\ 4 : [None, None] \\ 5 : [None, None] \\ 6 : [None, None] \\ 7 : [None, None] \\ 8 : [None, None] \end{pmatrix}$$

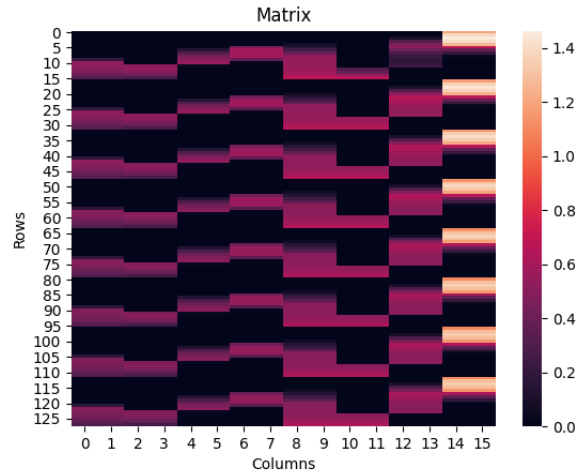


Рис. 3: Матрица второй четверти

Решение для второй четверти:

$$\begin{pmatrix} 1 : [1.0000000000000001, 1.0000000000000004] < - \\ 2 : [1.0000000000000013, 1.0000000000000027] - > \\ 3 : [1.00000000000000548, 0.9999999999999444] < - \\ 4 : [1.0000000000000018, 0.9999999999999918] < - \\ 5 : [1.0000000000000073, 0.9999999999999802] < - \\ 6 : [1.0000000000000038, 1.0000000000000044] - > \\ 7 : [1.00000000000000548, 0.9999999999999444] < - \\ 8 : [1.0, 1.0] - > \end{pmatrix}$$

Количество слияний ответов для матрицы второй четверти = 251

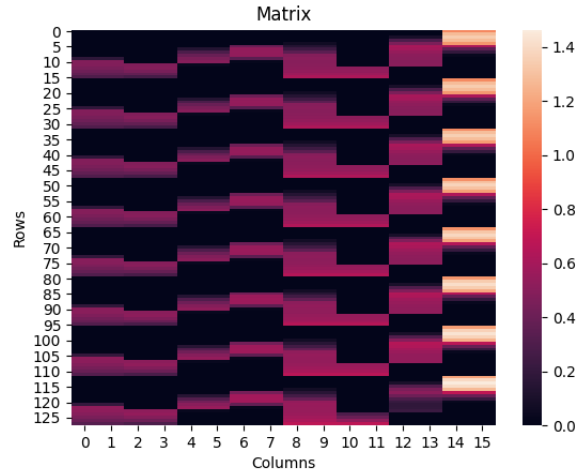


Рис. 4: Матрица третьей четверти

Решение для третьей четверти:

$$\left( \begin{array}{l} 1 : [1.0000000000000001, 1.0000000000000004] < - \\ 2 : [1.0000000000000013, 1.0000000000000027] - > \\ 3 : [1.00000000000000548, 0.9999999999999914] < - \\ 4 : [1.0000000000000018, 0.9999999999999918] < - \\ 5 : [1.0000000000000073, 0.9999999999999802] < - \\ 6 : [1.0000000000000013, 1.0000000000000044] - > \\ 7 : [1.00000000000000548, 0.9999999999999914] < - \\ 8 : [1.0, 1.0] - > \end{array} \right)$$

Количество слияний ответов для матрицы третьей четверти = 248

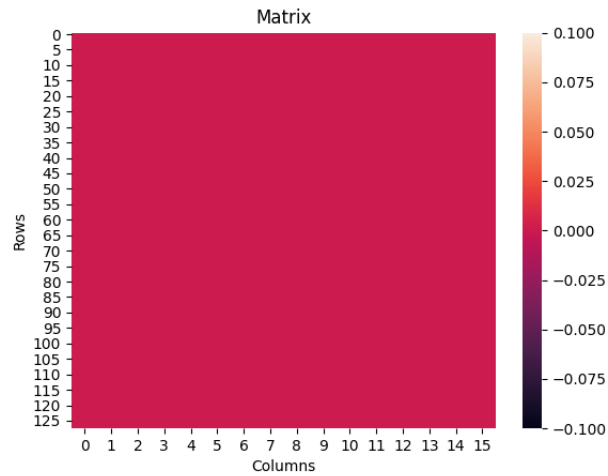


Рис. 5: Матрица четвертой четверти

Решение для четвертой четверти:

$$\left( \begin{array}{l} 1 : [None, None] \\ 2 : [None, None] \\ 3 : [None, None] \\ 4 : [None, None] \\ 5 : [None, None] \\ 6 : [None, None] \\ 7 : [None, None] \\ 8 : [None, None] \end{array} \right)$$

## 4 Литература

- С. П. Шарый, Алгебраический подход во “внешней задаче” для интервальных линейных систем, Фундамент. и прикл. матем., 2002, том 8, выпуск 2, 567–610
- А.Н.Баженов, Интервальный анализ. Основы теории, практические применения и учебные примеры., 2020, 150-158
- Исходный код: [https://github.com/ExpressFromSiberia/Interval\\_Analysis](https://github.com/ExpressFromSiberia/Interval_Analysis)
- Код Никиты Суханова: <https://github.com/NikitaSukhanov/Plasma3D>